

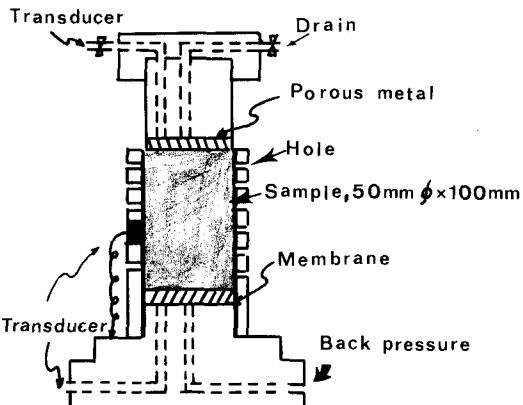
和歌山工業高等専門学校 正員 佐々木清一  
関西大学 工学部 正員 西田 一彦

## 1) まえがき

フィルダムや大規模盛土の設計を行う場合、応力と変形の状態におかれた透水性に関するデータが必要となる。とくに、風化度の著しいマサ土をコア材に使用すると圧縮性や強度低下等の問題をあらし、その要因は土粒子と水分との複雑な関係によるものとされている。そこで、高圧三軸圧縮試験装置を利用してマサ土の三軸応力下における不飽和・飽和透水係数について風化度に焦点をしぼり究明したものであり、その結果の一部を報告する。

## 2) 試料と実験方法

実験に使用した試料は川砂と風化度の異なる二種類のマサ土である。風化度の尺度として、見かけ比重、比表面積、強熱減量を採用し総合して判定した結果、マサ土、2と番号が大きいほど風化度は大となる。これらの試料を各種の含水比の下で円筒容器(50mmφ×100mm)の中で詰め固めFig.1のK0型三軸装置にセットし、定荷重(不飽和状態、500kg一定、飽和状態、500+100kgずつ増加)、側圧10kg/cm<sup>2</sup>のもとでBack pressure(B.P.)を変化させながら一定時間においてピューレットの水位低下量と試料の沈下量を測定した。



## 3) 結果の考察

Fig.2は、試料の飽和度SrとB.P.との関係を二、三の方程式求めたものである。Srは試料にB.P.を加え一定時間(川砂10秒、マサ5分)におけるピューレットの水位低下量を最小より0.1cmまで測定1次に示す3つの式で計算した。まず、図中の実線は(1)式より求めたものである。

$$Sr = \frac{V_w}{V_T} \times 100, \quad V_T = e^{ws/g_s \cdot y_w} \quad \dots \dots (1)$$

ただし、 $V_w$ はピューレットの水位低下量の加積、 $V_T$ は開孔体積であり、これを求めるための間隙比 $\epsilon$ は沈下量から修正し計算する。点線は、ボイルーシヤルルとヘンリイーの法則より導かれた式で(2)式で与えられる。

$$Sr = \frac{1}{1-H} - \frac{P_0}{P_0 + \Delta P} \left[ \frac{1}{1-H} - Sr_{ro} \right] \quad \dots \dots (2)$$

ただし、 $H$ ヘンリイー係数0.02(20°C)、 $P_0$ 大気圧1kg/cm<sup>2</sup>、

$\Delta P$ バックプレッシャー、 $Sr_{ro}$ 初期飽和度。さらに、(2)式を修正すると(3)式となり一点鎖線で表わされる。

$Sr = \frac{1}{1-H} - \left( P_0 \Delta V / \Delta P V_T \right) \quad \dots \dots (3)$  ただし、 $\Delta V$ 供試体に流入した水量、 $\Delta P$ 開孔体積で(1)式の要領でえられる。さて、各試料のSrはB.P.の増加により徐々に増えている。B.P.一定の条件でみると、Srに及ぼす風化度の差は(1)式が最も明白である。つまり、風化度の著しい試料ほどSrは小さい。(2), (3)式はいざれも(1)式と比較すると反対の結果となっている。その理由として、(2)式は $Sr_{ro}$ の与えいかんにより決められる。すなわち、 $V_T$ 、 $V_S$

Fig.1 Sample container

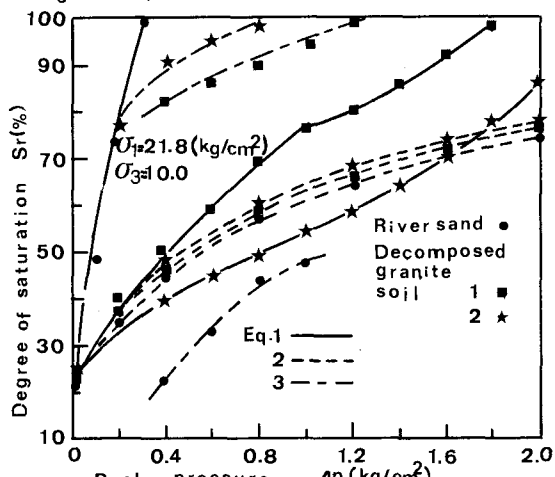
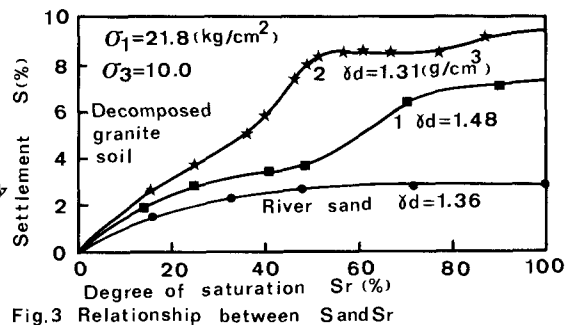


Fig.2 Relationship between Sr and Δp

を考慮していない。B)式は $\sigma_1$ ,  $\sigma_3$ を取り入れているものの例え砂ほどは容易に水が浸透するため  $P\partial V/\partial P$  の項が大きくなり  $S_r$  は小さい値となる等である。

Fig.3 は  $S_r$  の変化に伴う沈下量  $S$  の割合を示したものである。各試料の  $S$  は、 $S_r$  の増加により増大し、とくに砂は  $S_r = 20\%$  位で一定となるのに対しマサではさらに増えていく。また、 $S_r$  一定の下でみると風化度の大きいマサほど沈下が著しい。つぎに、応力と変形を与えた状況の



下で不飽和、飽和透水係数を評価することはコア材にマサを使用した場合の間隙圧、変形を予測するための基礎資料となる。そこで、透水係数と飽和度、主応力比との関係について以下述べる。透水係数は Mitchell の式<sup>2)</sup>で求めたもので(4)式で表わされる。 $K = C_s V_s^2 \left( \frac{\gamma_p}{\mu} \right) \frac{1}{S_o^2} \left( \frac{e^3}{1+e} \right) S_r^3 \quad \dots (4)$ ただし、 $K$  透水係数、 $C_s$  形状係数 0.2、 $V_s$  土粒子体積、 $\gamma_p$  水の単位重量、 $\mu$  粘性係数、 $S_o$  単位体積あたりの表面積  $e$  間隙比、 $S_r$  饱和度、 $Fig. 4$  は相対透水係数  $K_r$  と飽和度  $S_r$  の関係を示したものであり、ここで  $K_r$  とは不飽和透水係数を  $\sigma_1 = 21.8$ 、 $\sigma_3 = 10 \text{ kg/cm}^2$  の下で  $S_r = 100\%$  の透水係数で除したものである。同図から、各試料の  $K_r$  は  $S_r$  の増減により変化する。そして、両者の関係は風化度によらず図中に記した実験式で表わせる。また、この式の勾配 3.35 は、西垣らの分析による 2.0<sup>3)</sup> ~ 4.0 の範囲に入り本実験も解析の際に役立つと考えられる。

Fig. 5 は飽和時の相対透水係数  $K_r$  と主応力比  $\sigma_1/\sigma_3$  との関係を示したものである。 $K_r$  は  $\sigma_1/\sigma_3$  を変化させたときの  $K$  を  $\sigma_1/\sigma_3 = 2.2$  における  $K$  で除したものであり、両者の関係は図中の実験式で与えられる直線となり Fig. 4 と同様に、土中の主応力が変化したときの透水性の解析に有用となる。ただし、本実験式は  $\sigma_1/\sigma_3 = 2.2$  以上に限り適用されるが、それ以下の場合もこのような手法により可能となる。

#### 4) まとめ

改良型セルを使用した三軸透水試験を行い不飽和、飽和透水係数について実験した結果、透水係数は不飽和では飽和度、飽和では主応力比に支配されることを明らかにした。

#### 5)

- 1) 河野他 (1982): 室内透水試験法に関する 2, 3 の考察、土質工学会論文集、Vol. 22, No. 4, PP. 181~190
- 2) J. K. Mitchell (1976): *Fundamentals of Soil Behavior*, John Wiley & Sons, Inc., PP. 340~383.
- 3) 西垣他 (1983): 鮑直一次元浸透解析による不飽和土の浸透特性の吟味、工木学会年次講演集、PP. 535~536

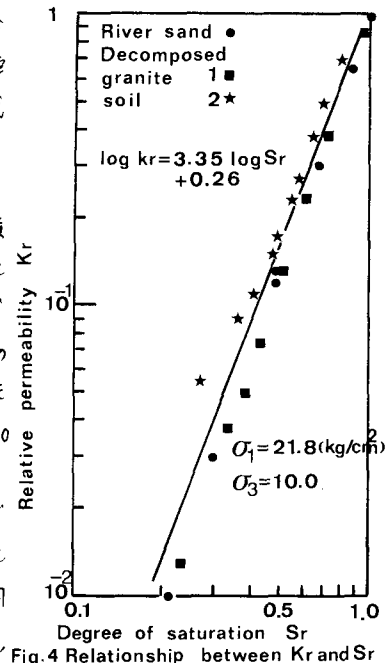


Fig. 4 Relationship between  $K_r$  and  $S_r$

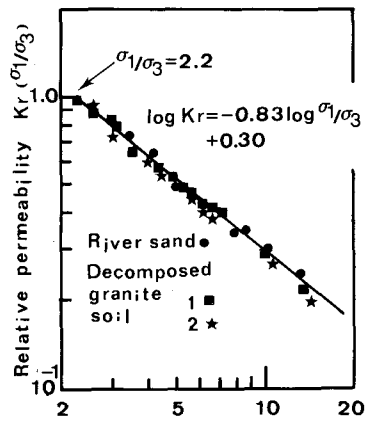


Fig. 5 Relationship between  $K_r$  and  $\sigma_1/\sigma_3$